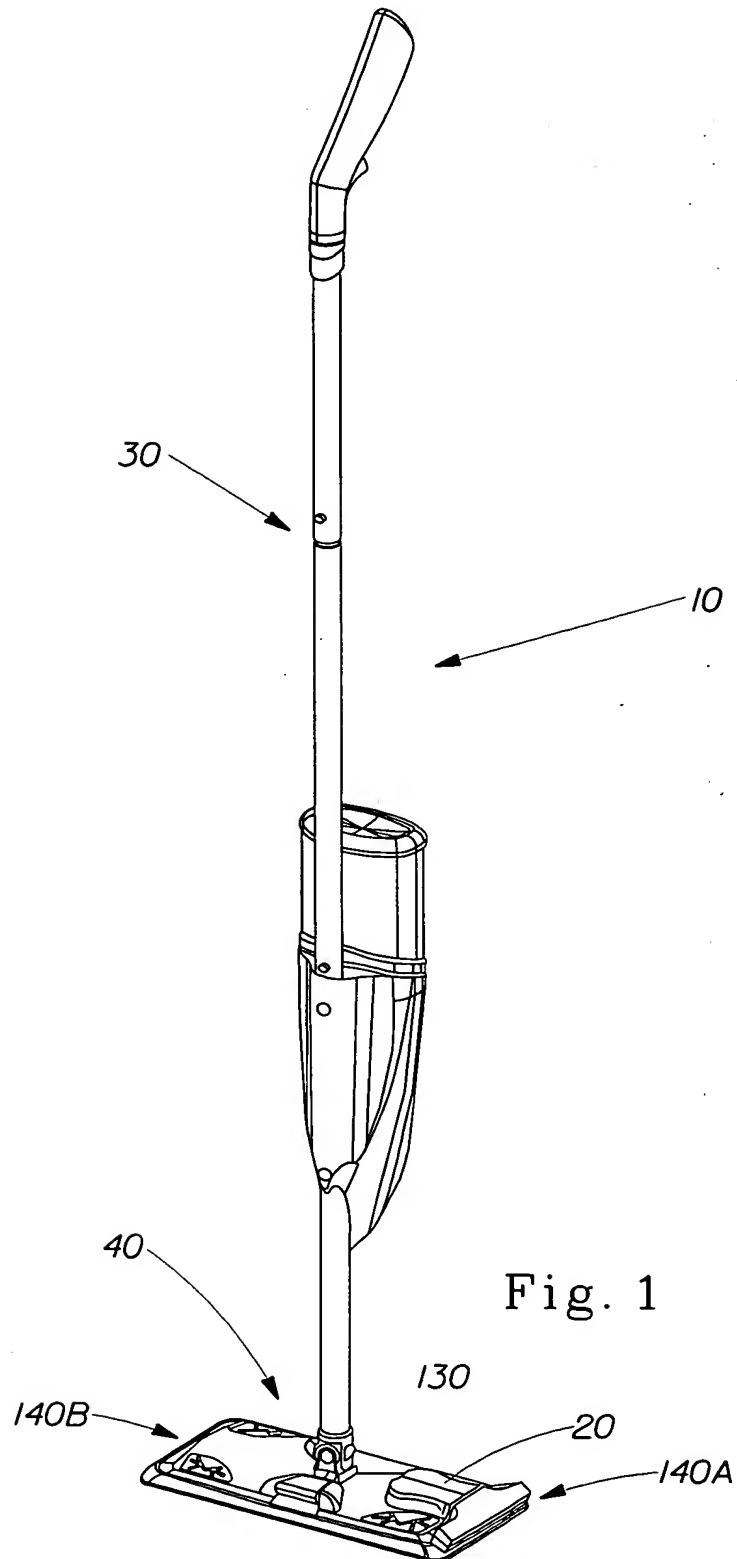


1/26



2/26

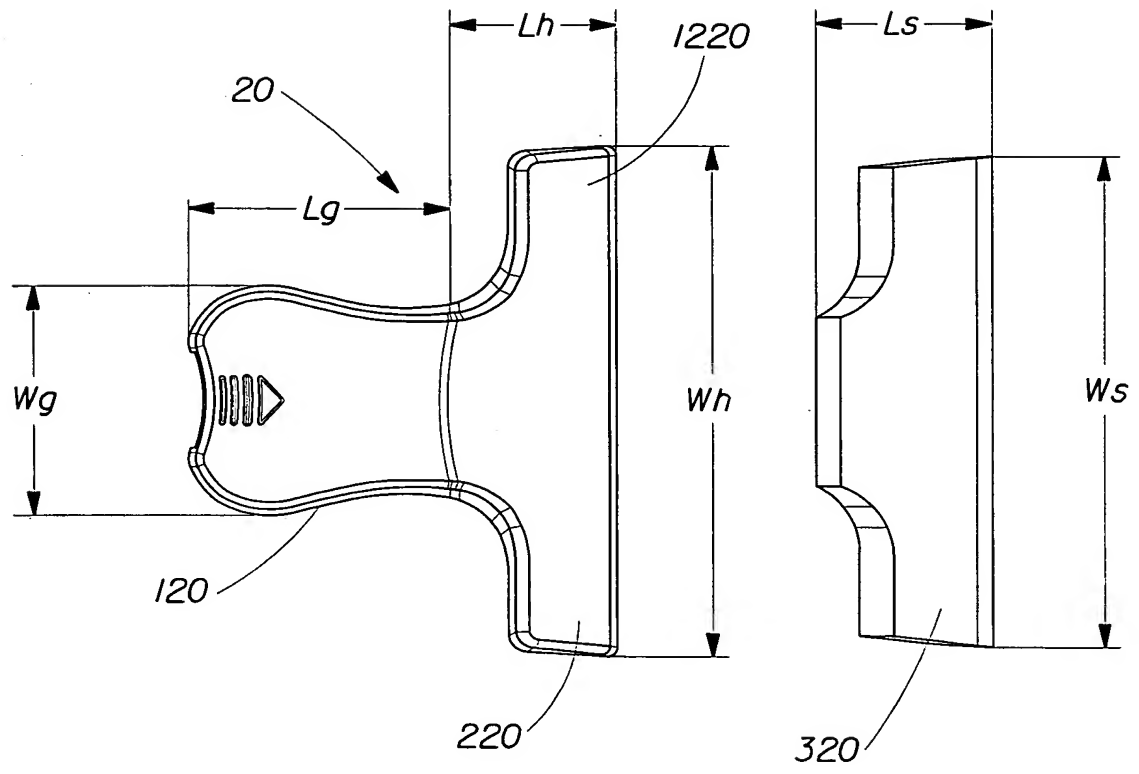
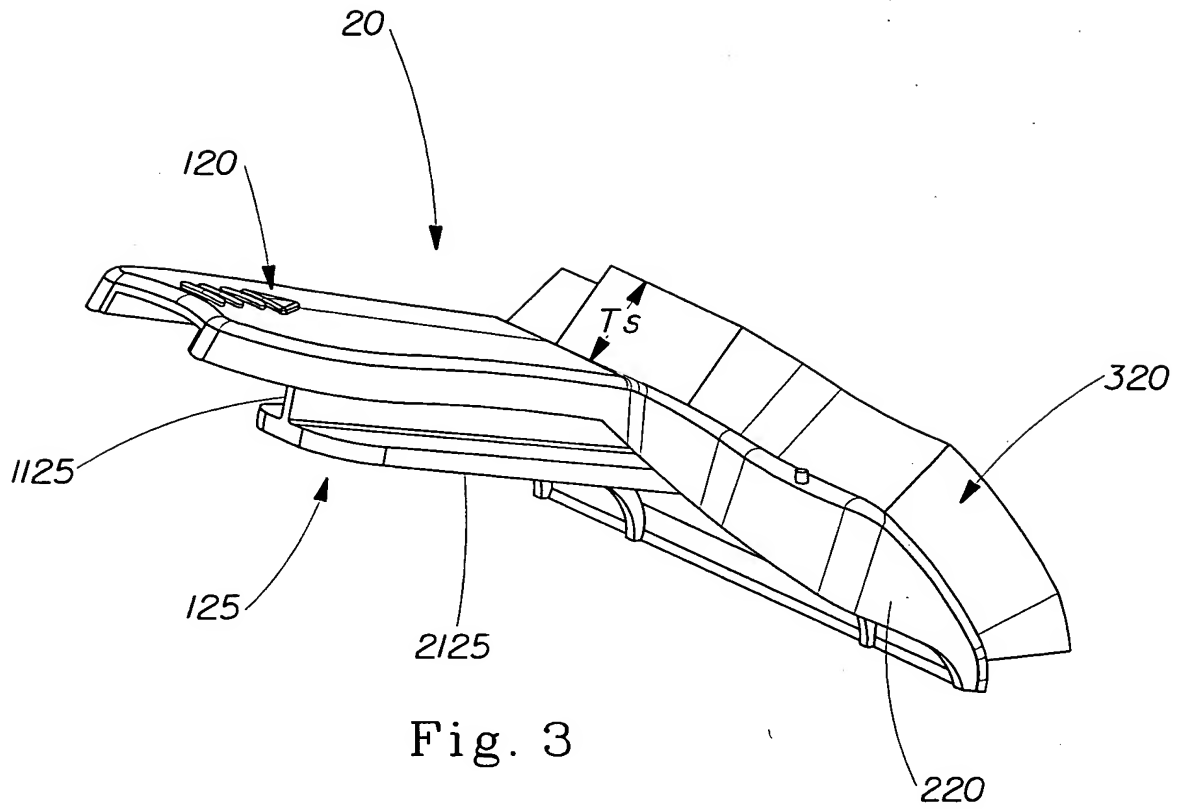


Fig. 2

3/26



4/26

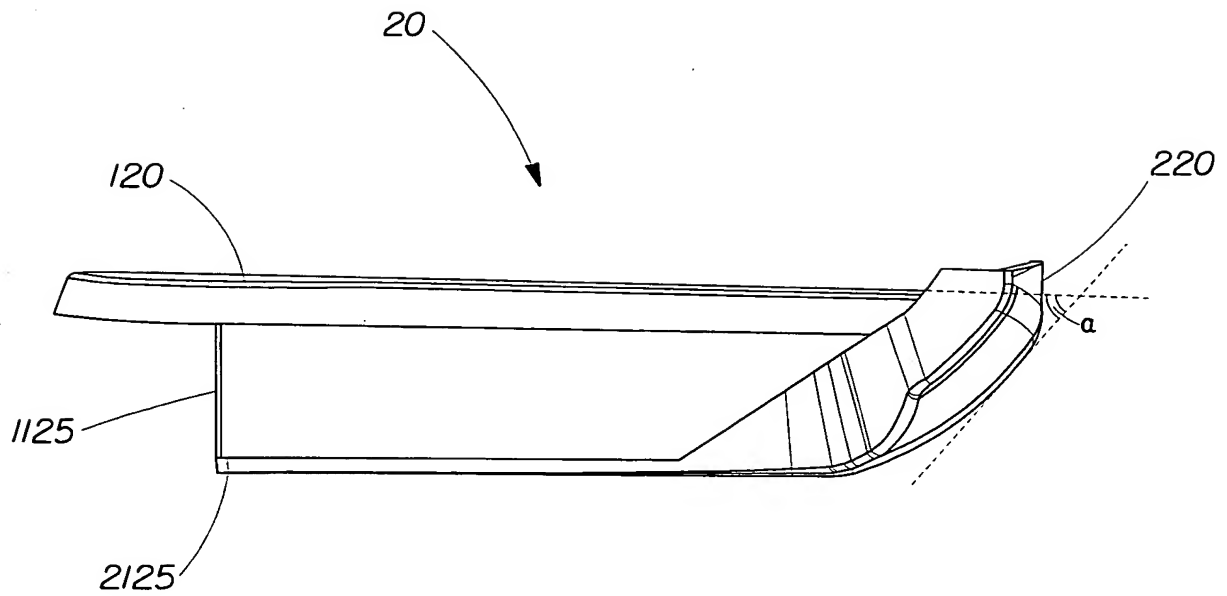


Fig. 4

5/26

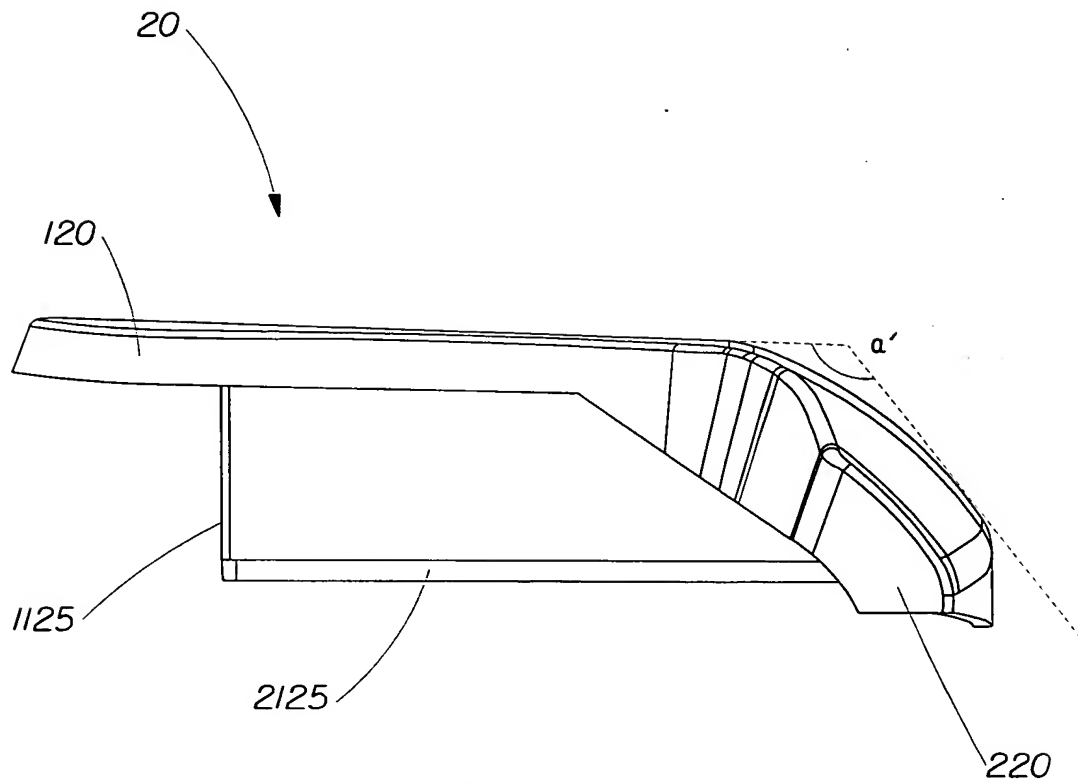


Fig. 5

6/26

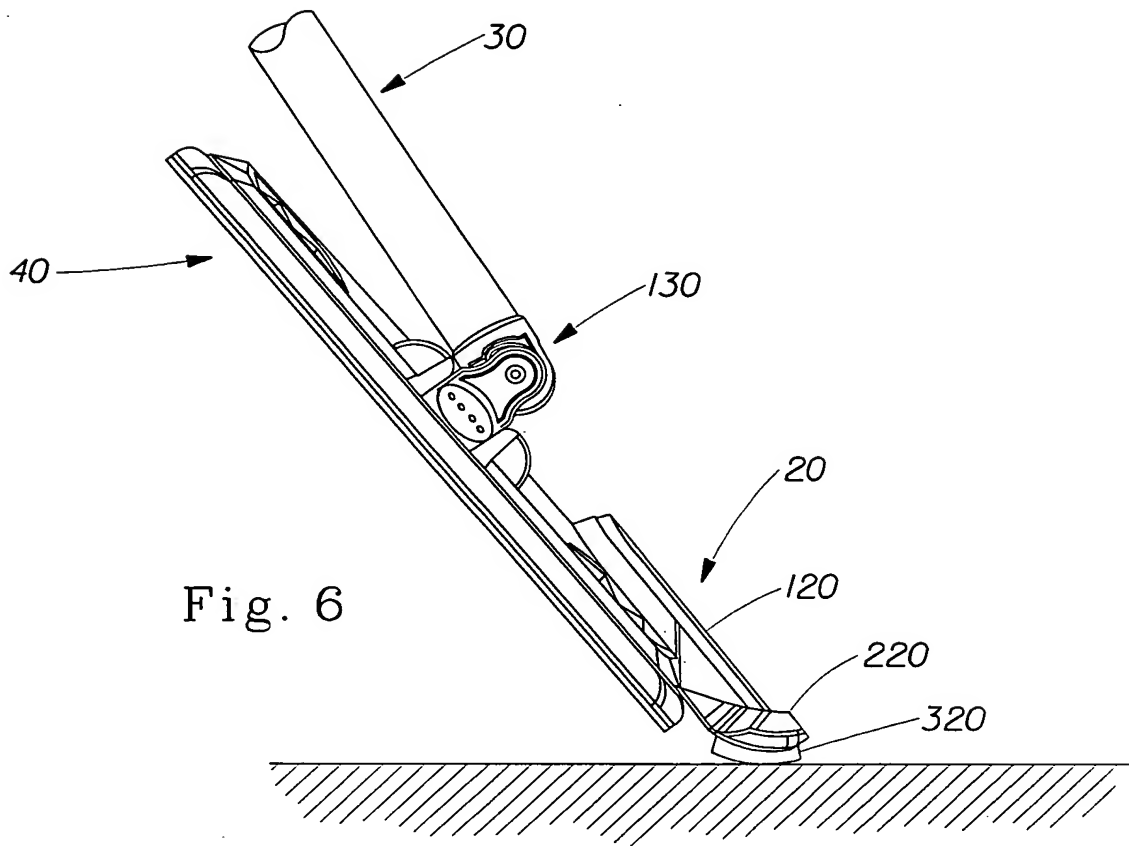


Fig. 6

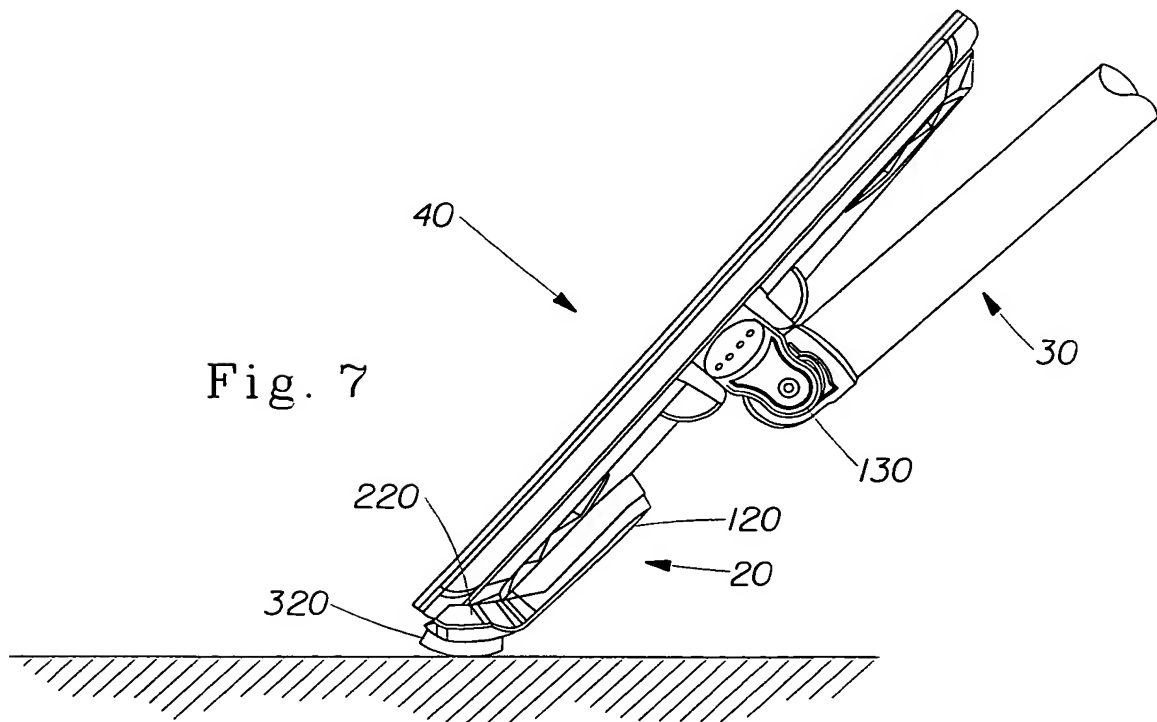


Fig. 7

7/26

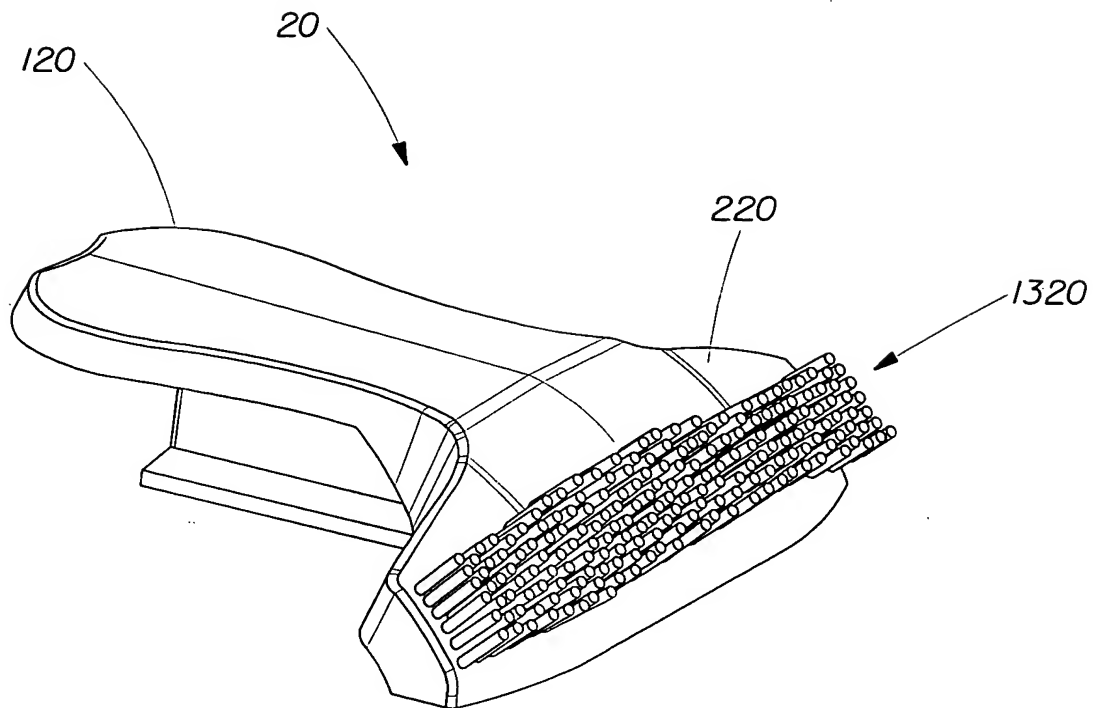


Fig. 8

8/26

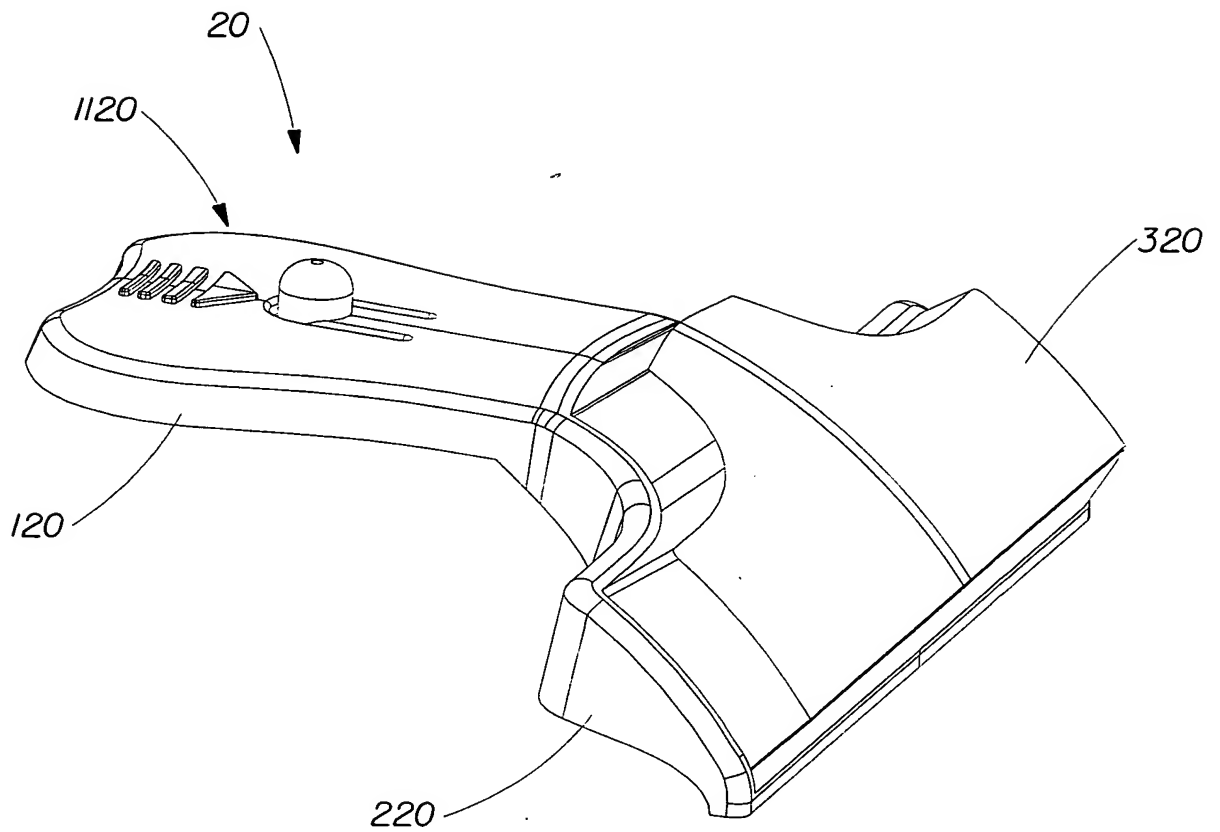
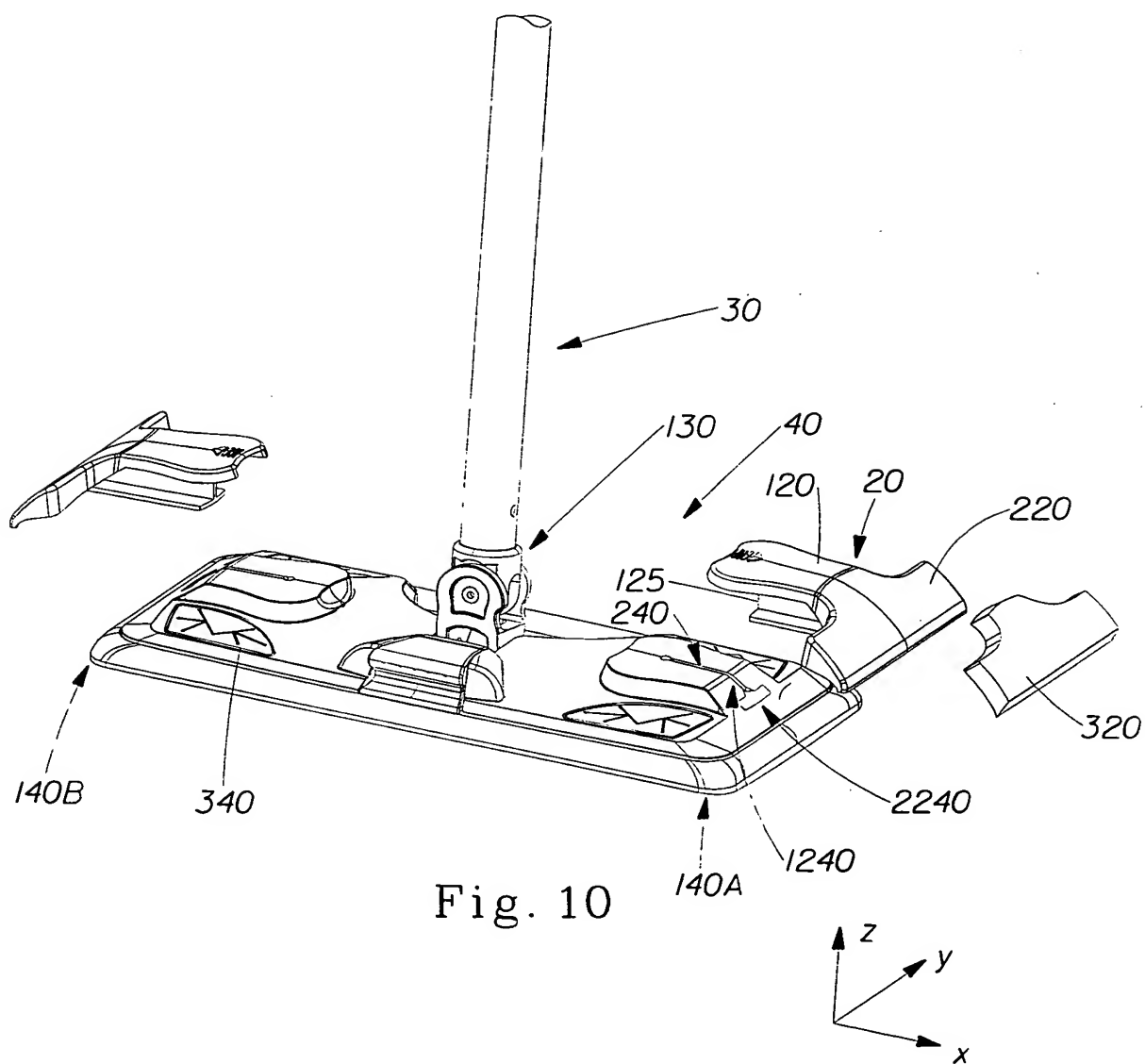


Fig. 9



9/26



10/26

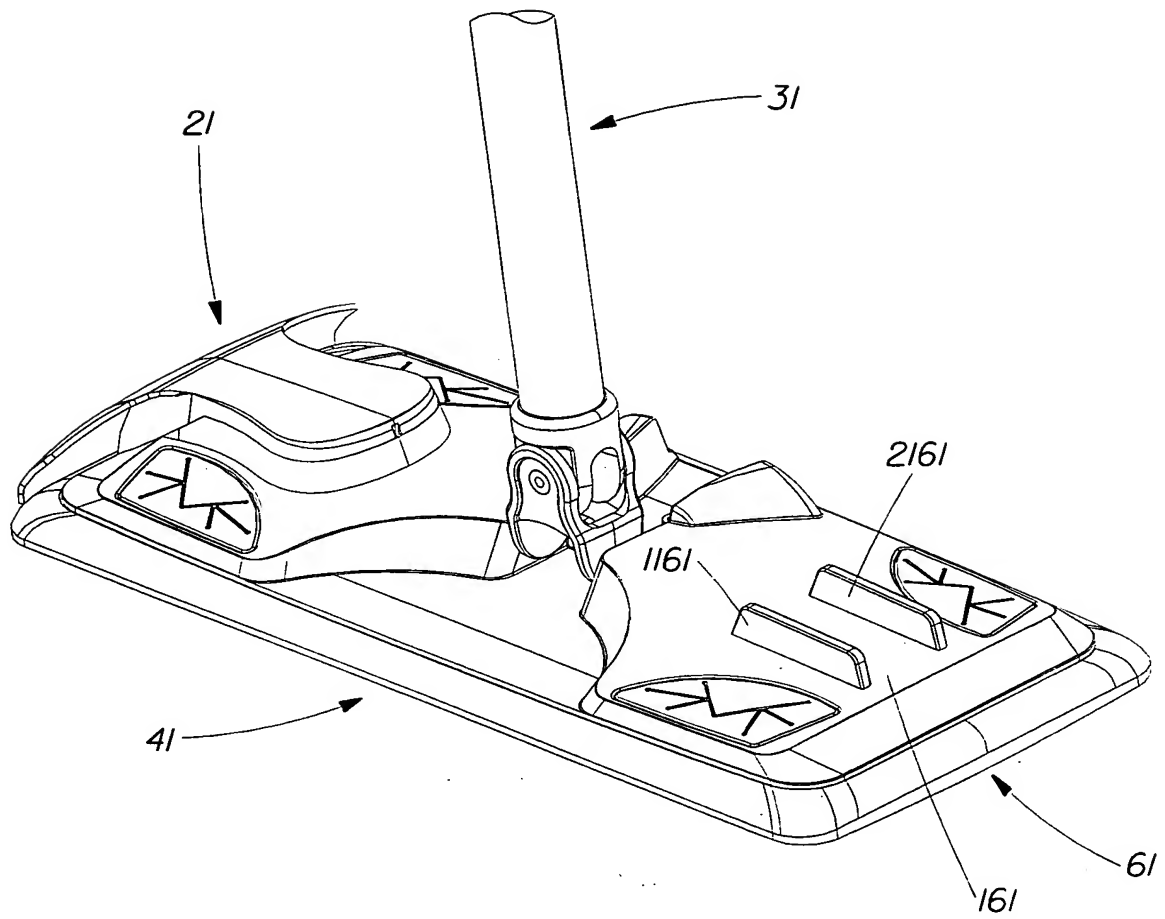


Fig. 11

11/26

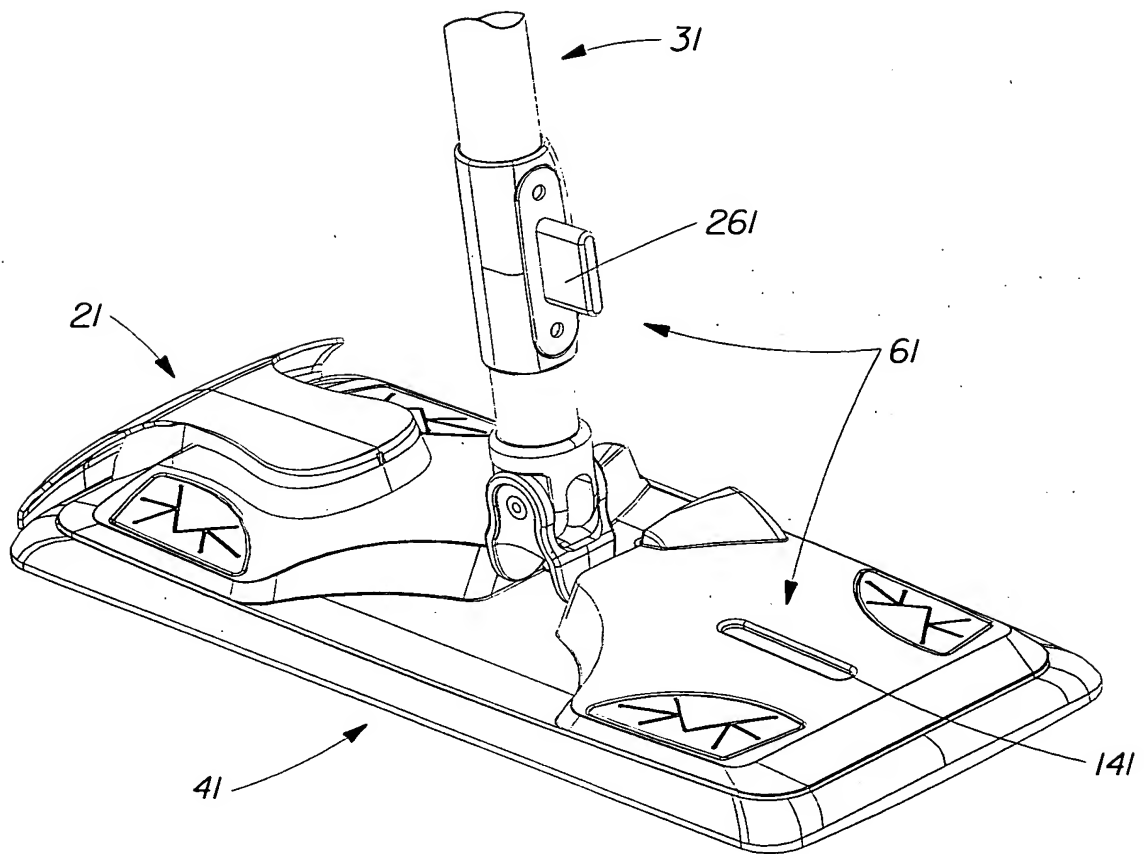


Fig. 12

12/26

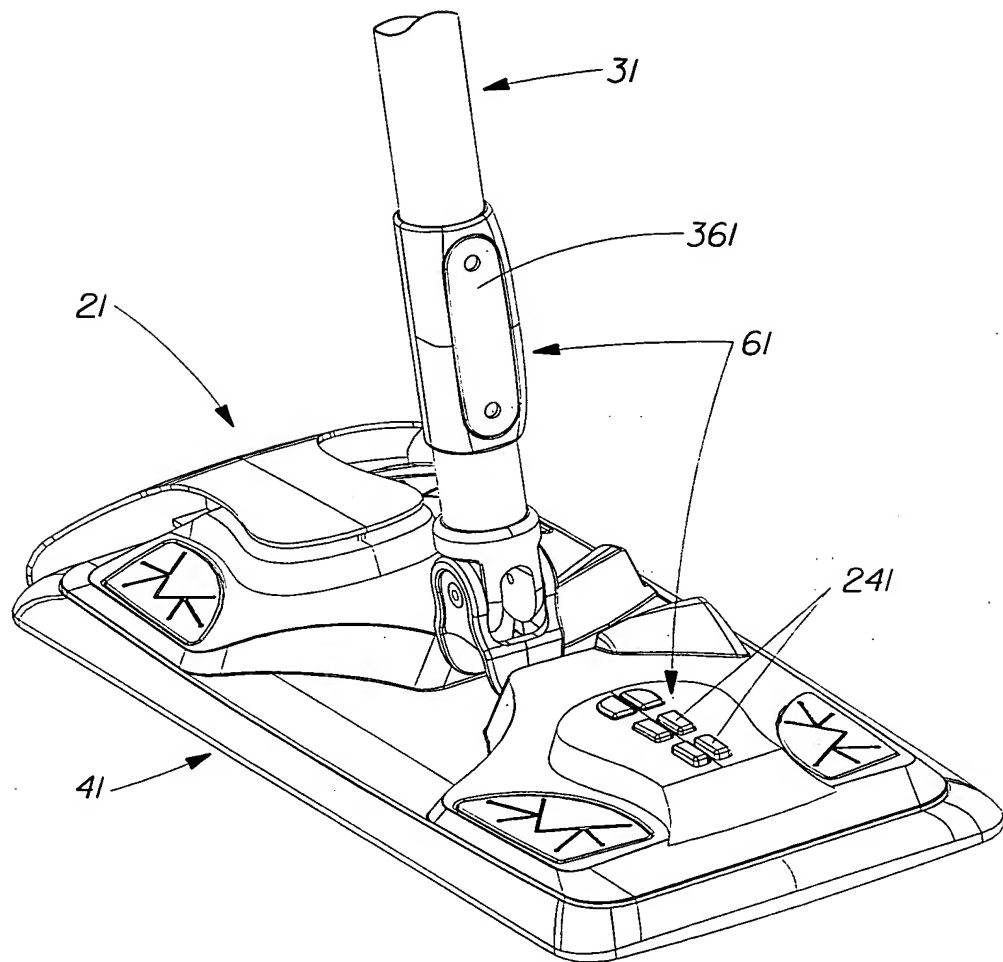


Fig. 13

13/26

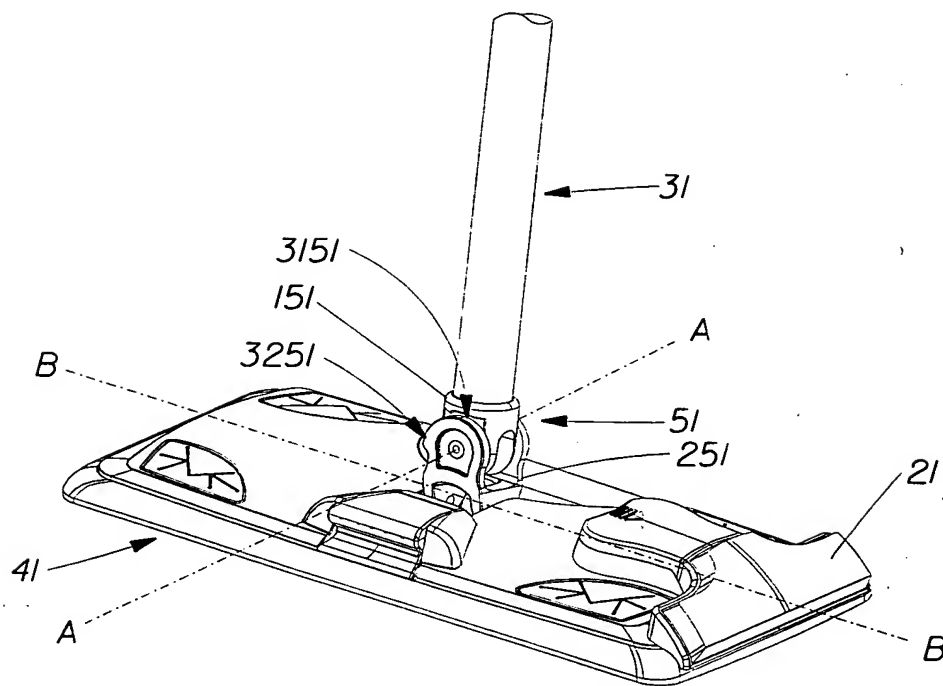
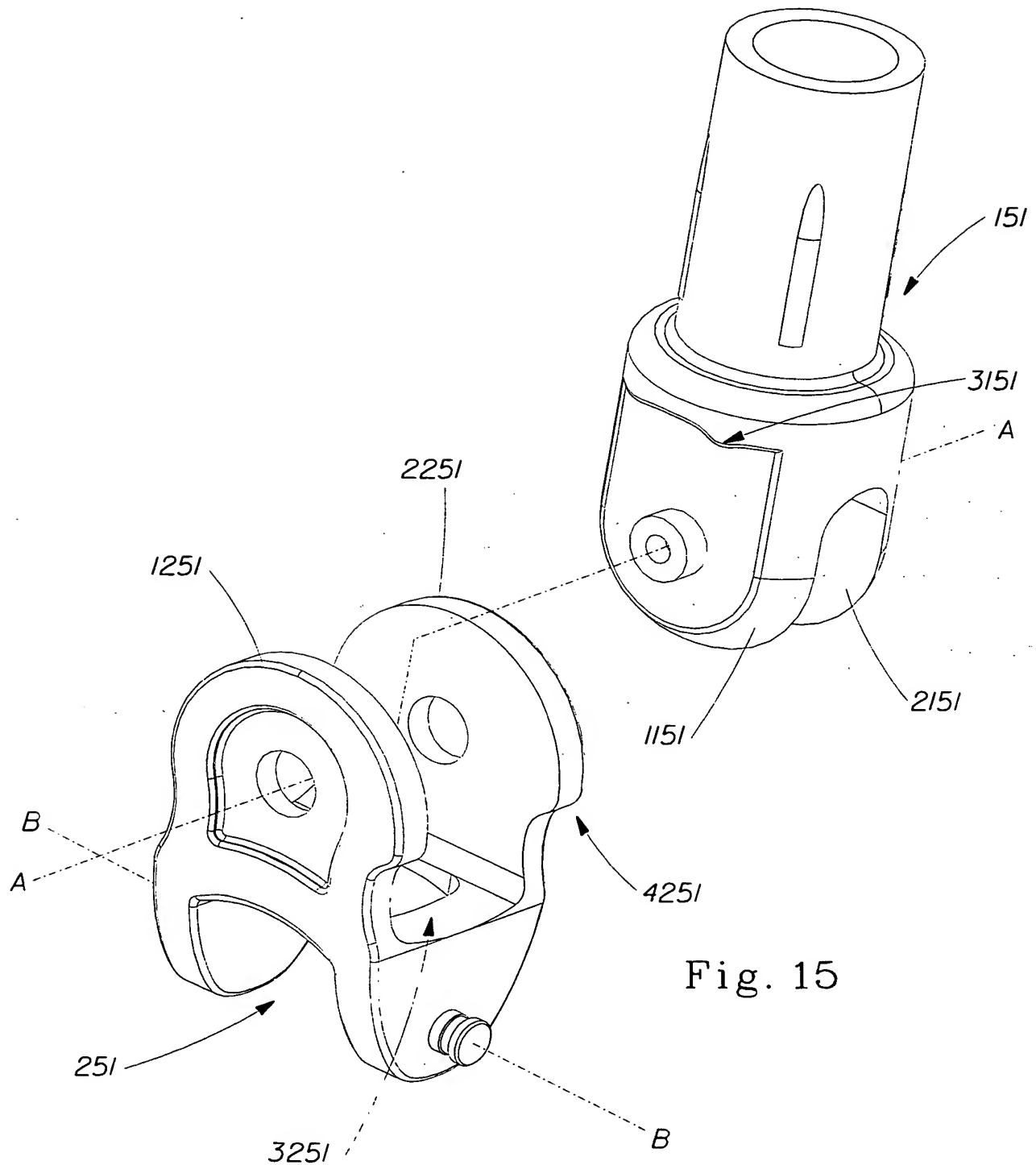


Fig. 14



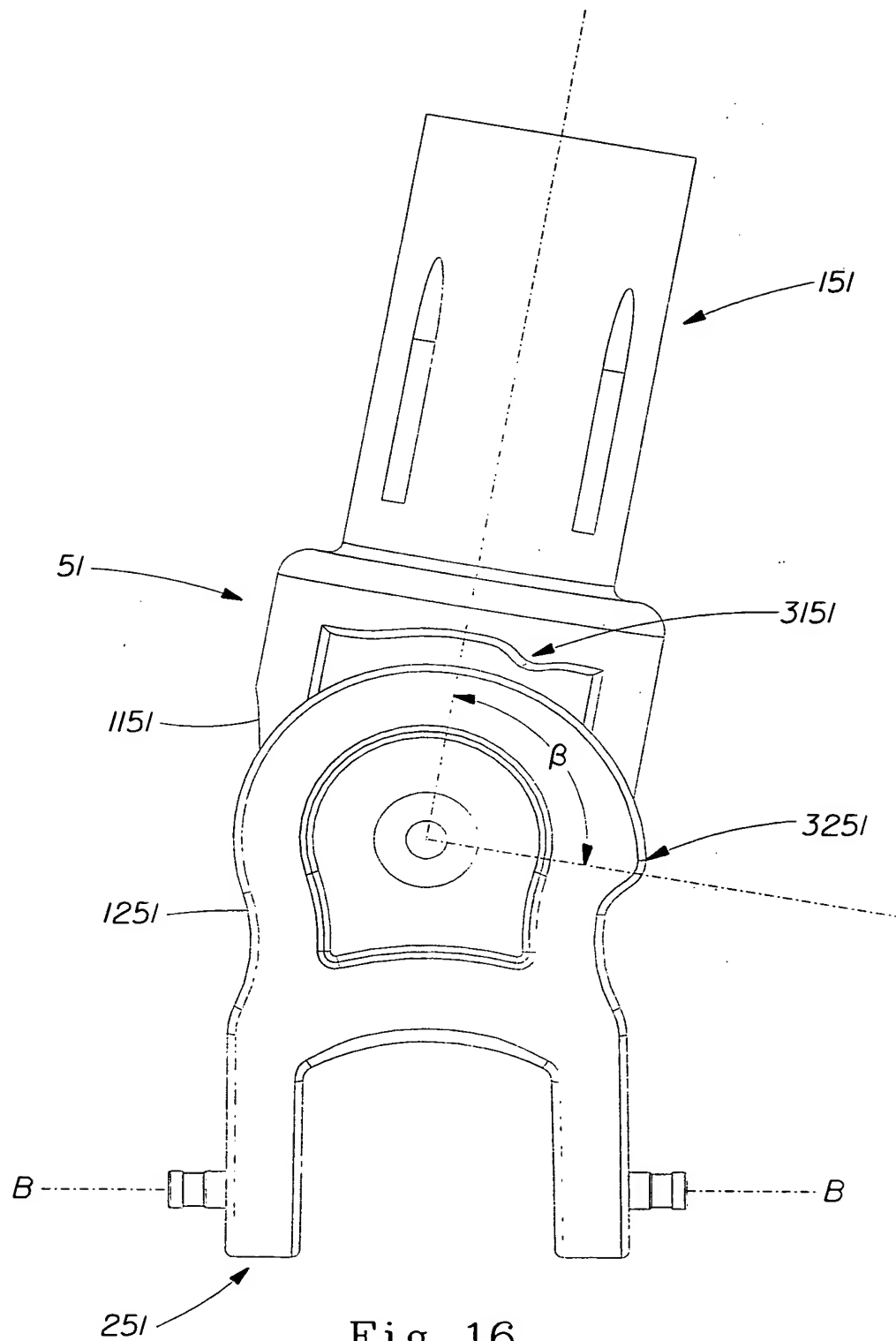


Fig. 16

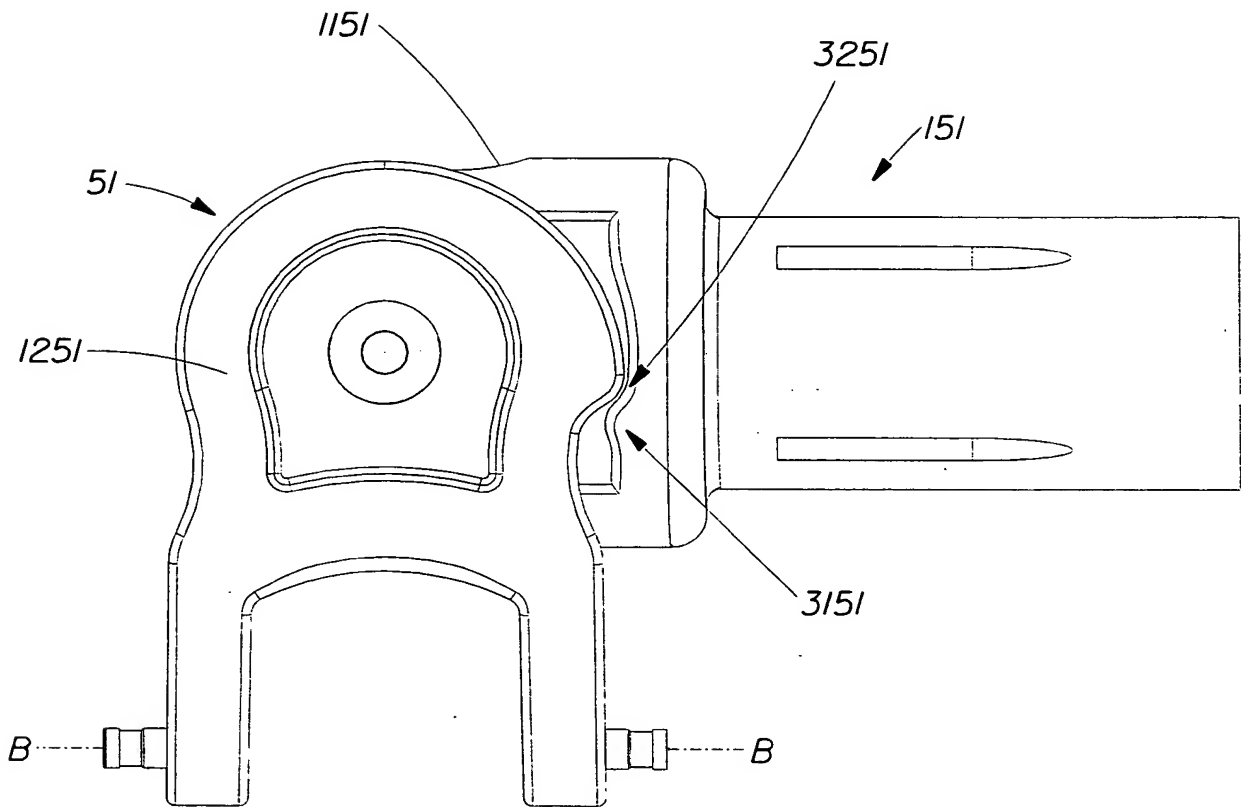


Fig. 17



17/26

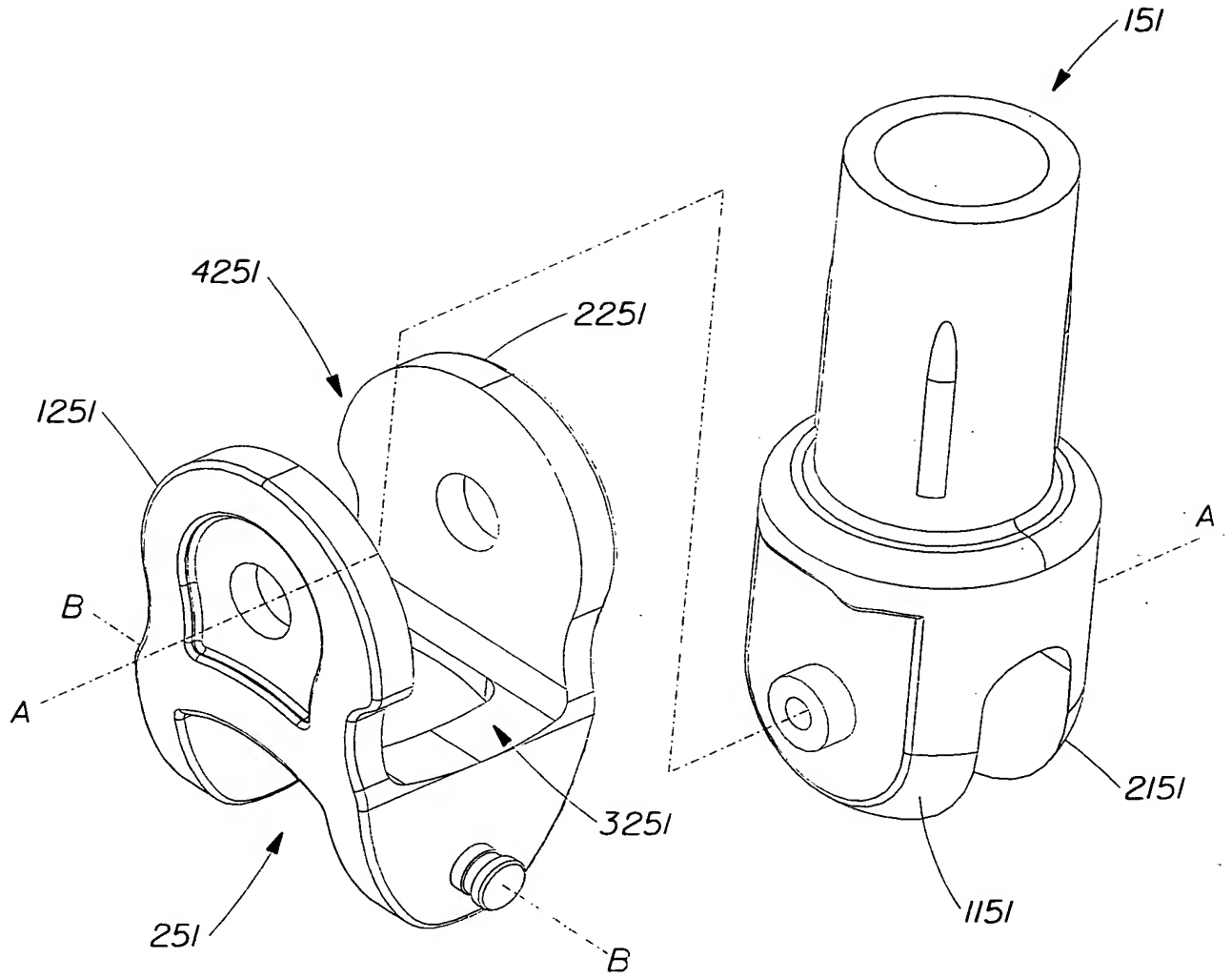
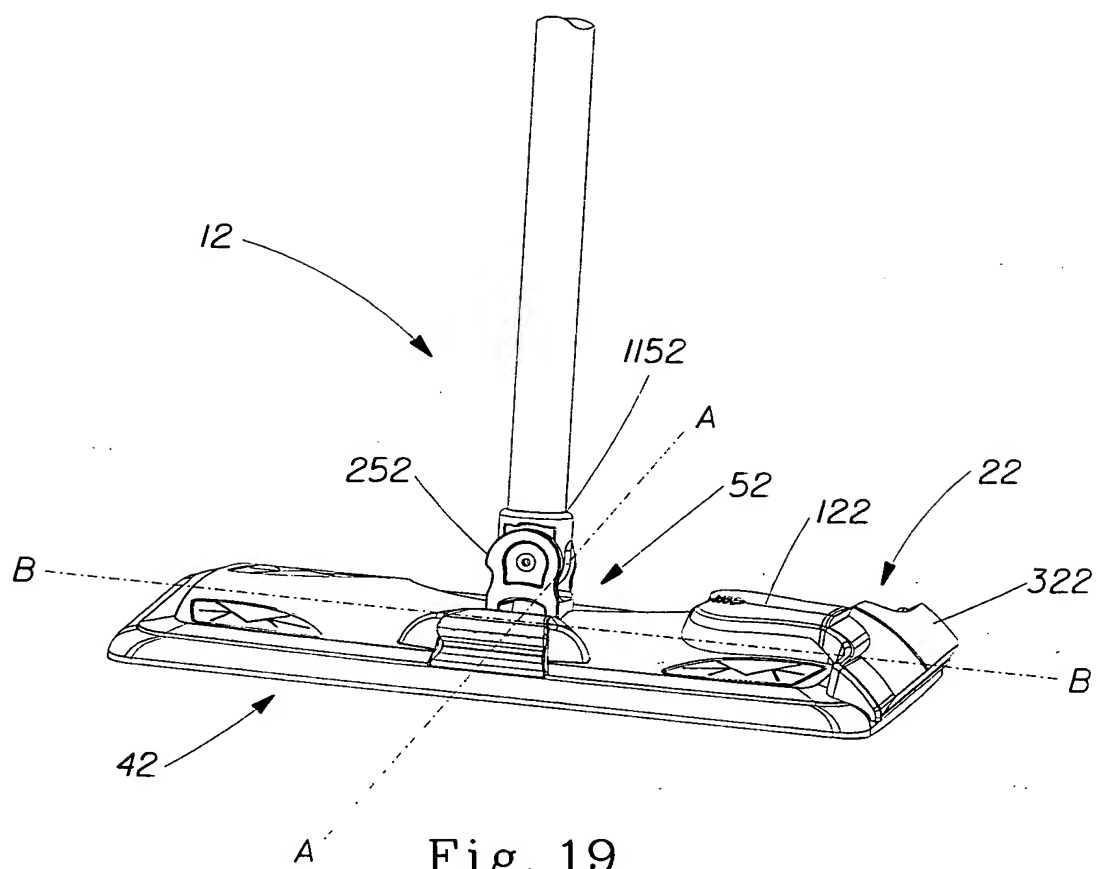


Fig. 18

18/26



19/26

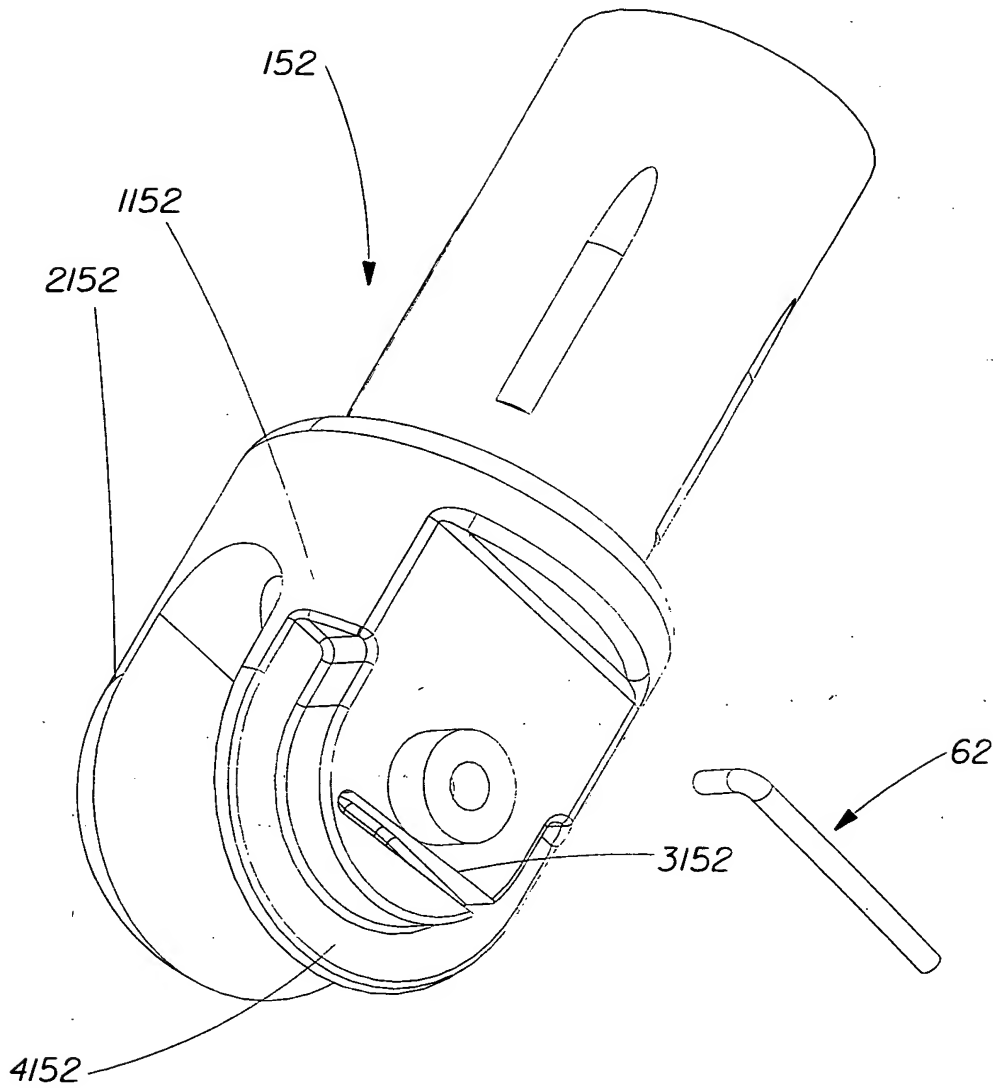


Fig. 20

20/26

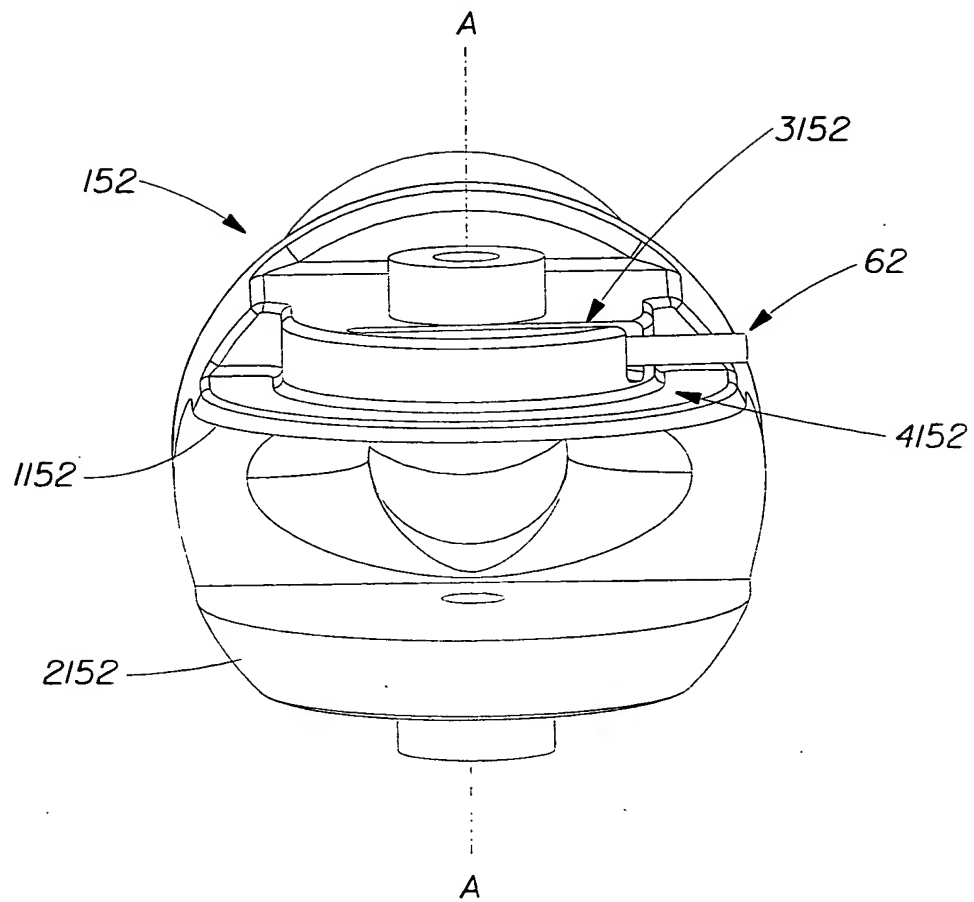


Fig. 21

21/26

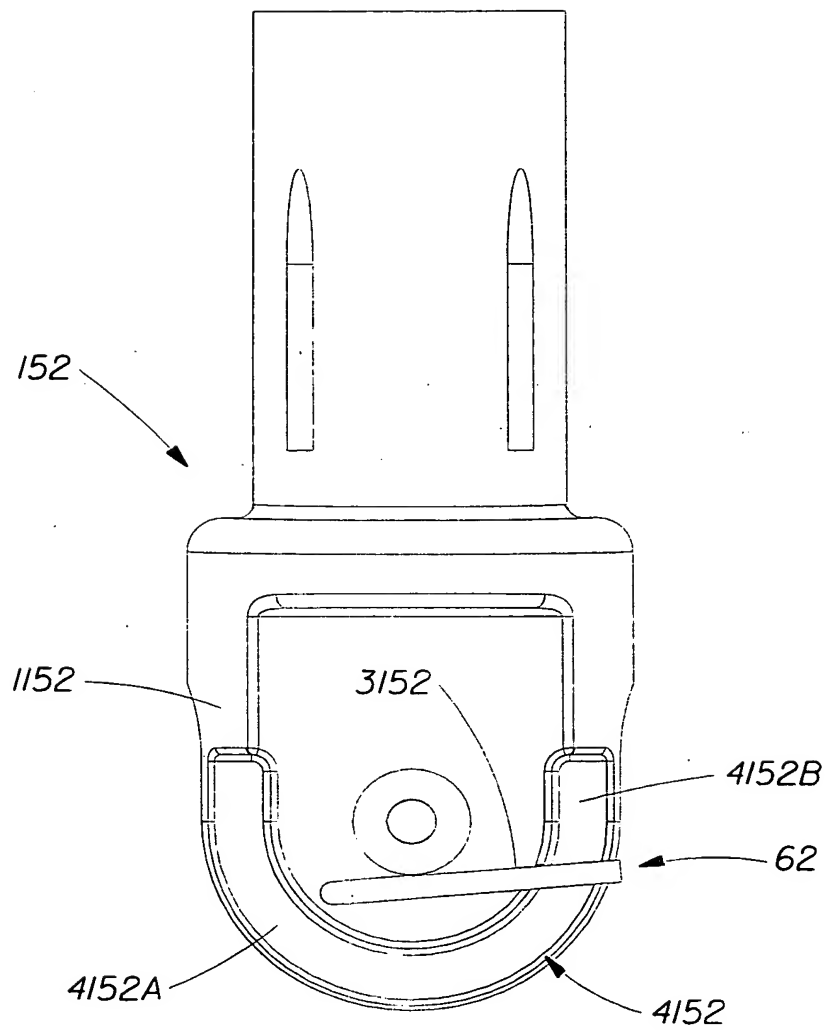


Fig. 22

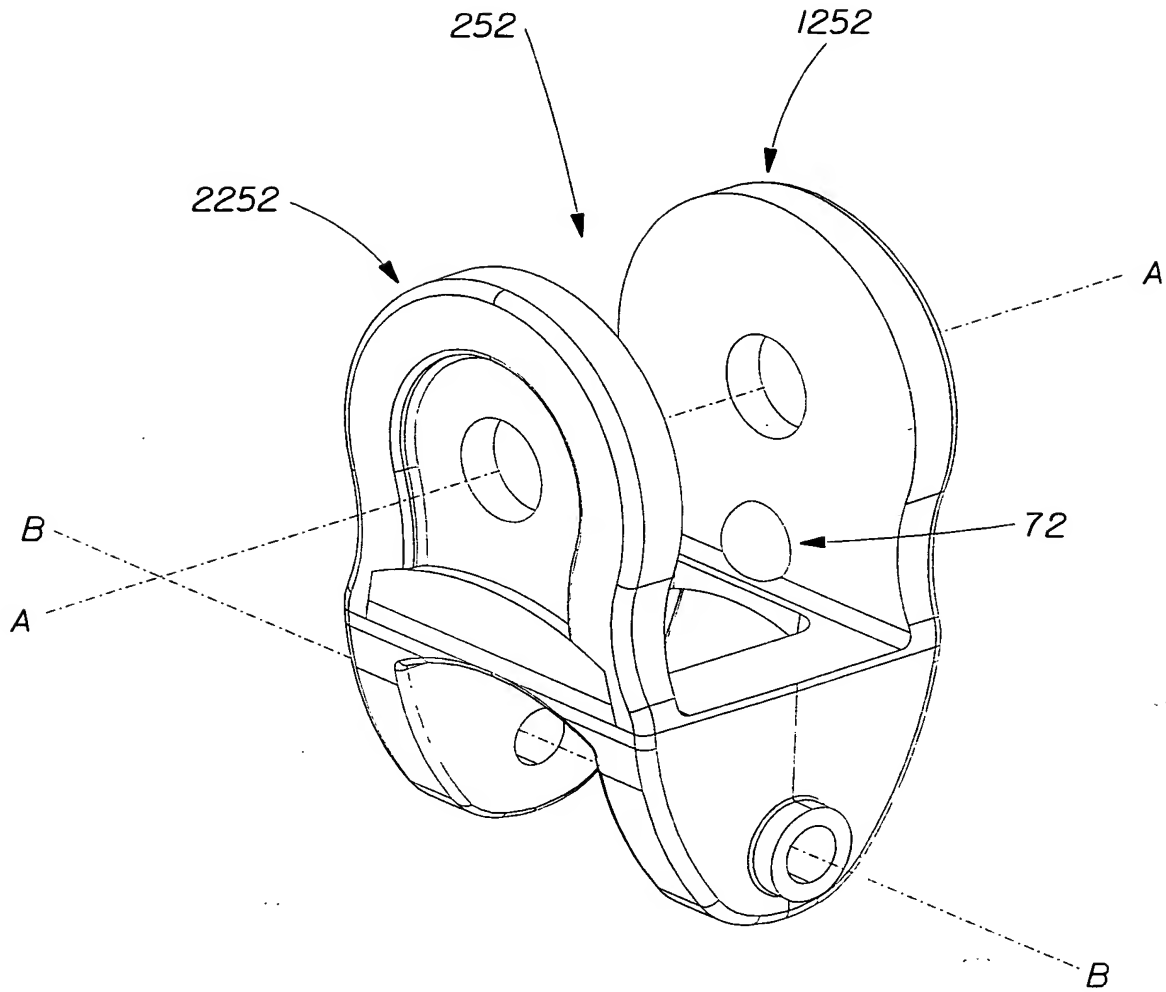


Fig. 23

23/26

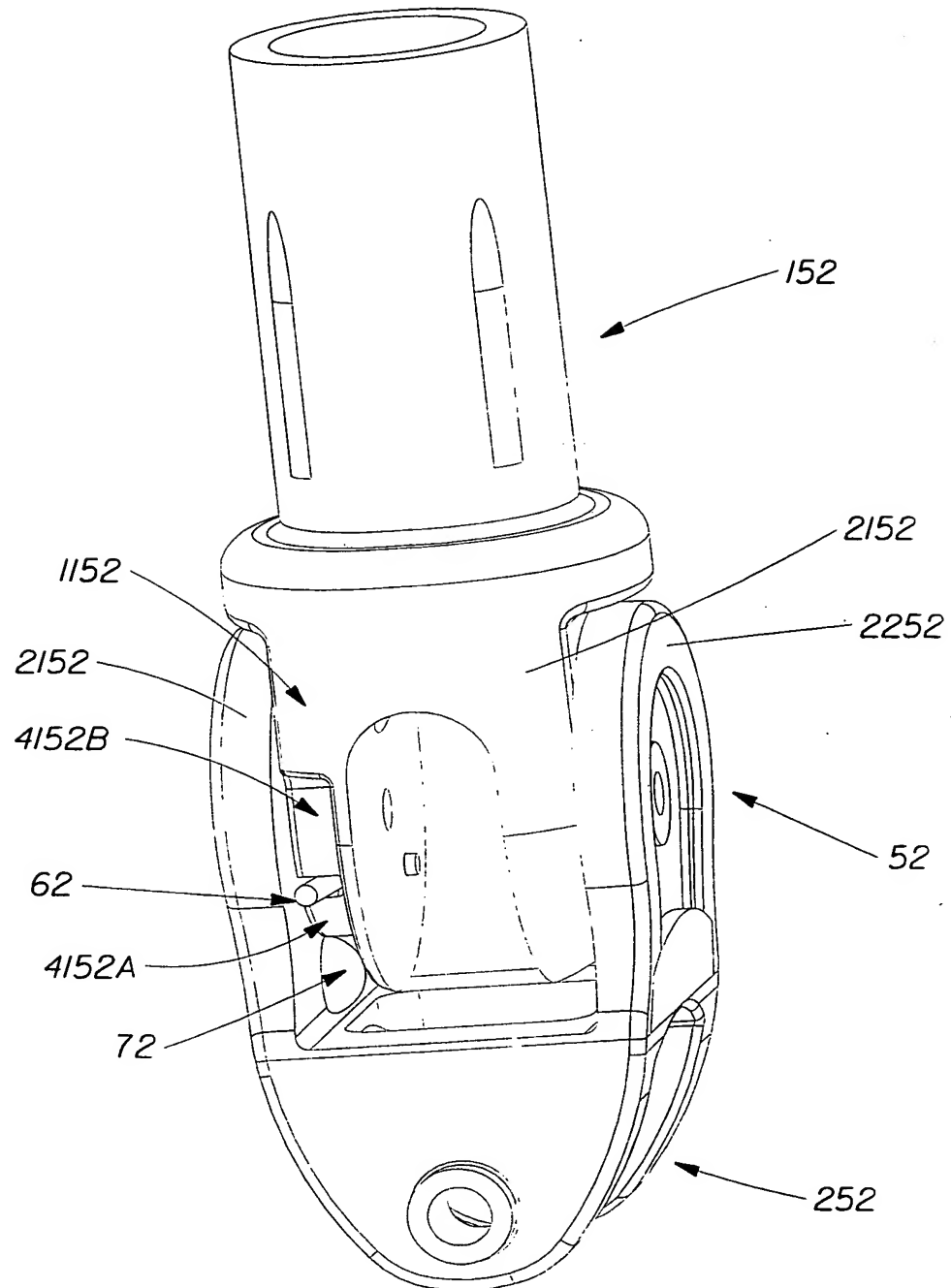


Fig. 24

24/26

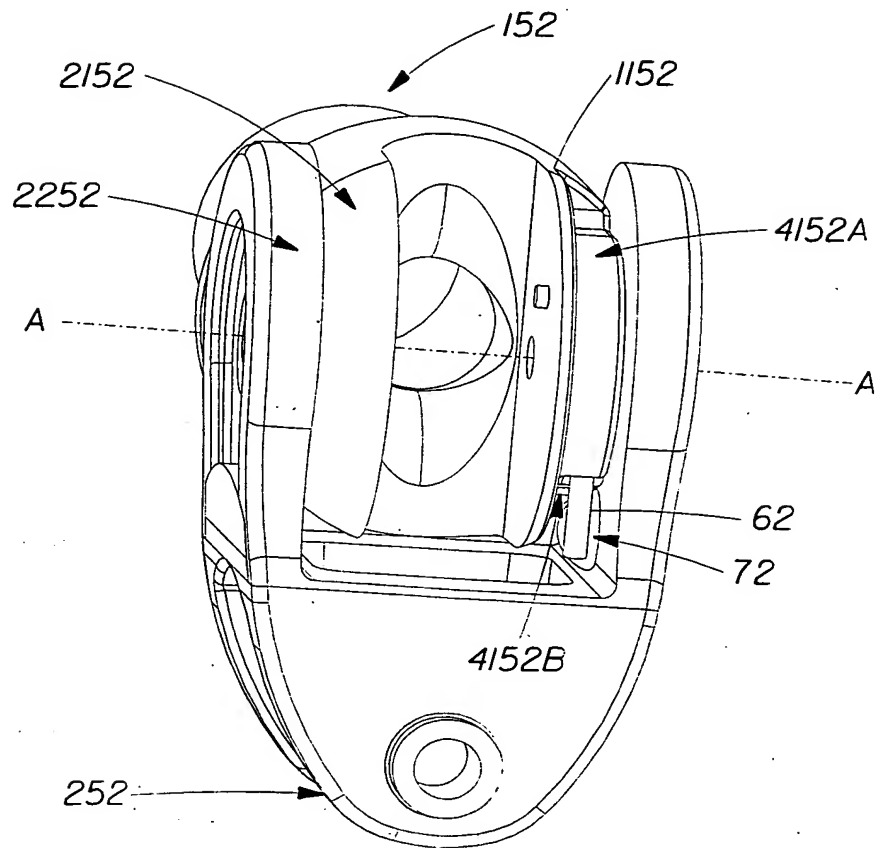


Fig. 25



25/26

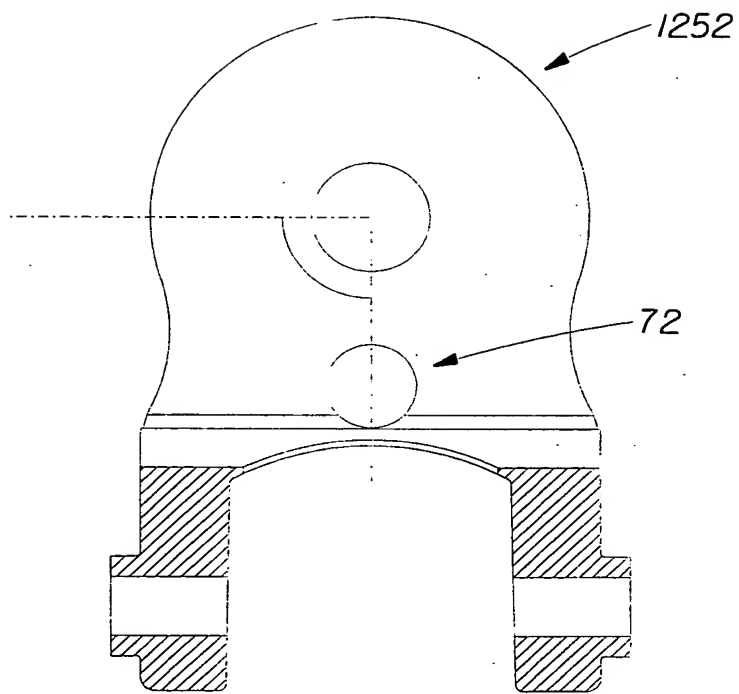


Fig. 26

26/26

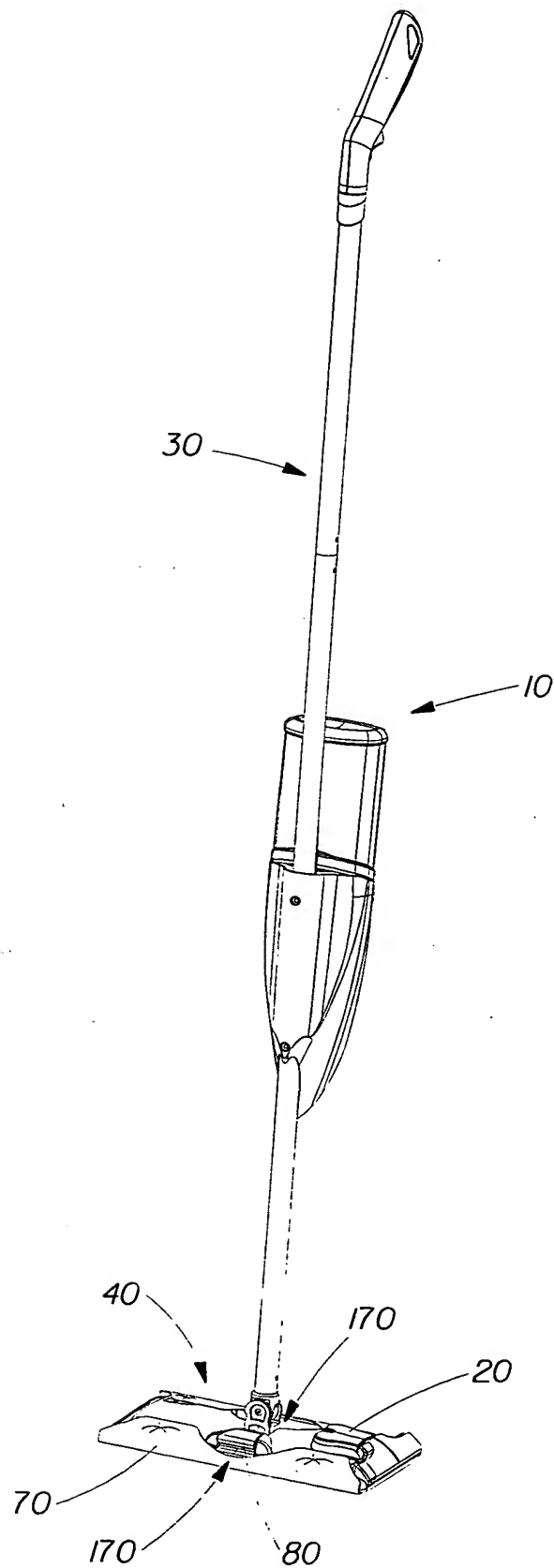


Fig. 27